

---

ЭКСПЕРИМЕНТАЛЬНЫЕ СТАТЬИ

---

УДК 581.1

ВЛИЯНИЕ РЕГУЛЯТОРОВ РОСТА И РАЗЛИЧНЫХ СПЕКТРОВ  
МОНОХРОМАТИЧЕСКОГО ИЗЛУЧЕНИЯ НА РОСТОВЫЕ  
И БИОСИНТЕТИЧЕСКИЕ ХАРАКТЕРИСТИКИ КАЛЛУСНОЙ КУЛЬТУРЫ  
*Ipomoea batatas* (L.) Lam.<sup>1</sup>

© 2023 г. Ю. А. Югай<sup>a</sup>, \*, О. В. Грищенко<sup>a</sup>, Е. А. Васюткина<sup>a</sup>, В. П. Григорчук<sup>a</sup>,  
Е. Н. Чухломина<sup>a</sup>, Ж. Л. Цыденешиева<sup>a</sup>, О. Д. Кудинова<sup>a</sup>, Ю. Л. Ярошенко<sup>a</sup>, А. И. Дегтяренко<sup>a</sup>,  
Е. П. Субботин<sup>b</sup>, В. П. Булгаков<sup>a</sup>, Ю. Н. Кульчин<sup>b</sup>, Ю. Н. Шкрыль<sup>a</sup>

<sup>a</sup>Федеральный научный центр биоразнообразия наземной биоты Восточной Азии  
Дальневосточного отделения Российской академии наук, Владивосток, Россия

<sup>b</sup>Федеральное государственное бюджетное учреждение науки Институт автоматики  
и процессов управления Дальневосточного отделения Российской академии наук, Владивосток, Россия

\*e-mail: yuua1992@mail.ru

Поступила в редакцию 25.09.2023 г.

После доработки 09.11.2023 г.

Принята к публикации 13.11.2023 г.

В работе изучили влияние регуляторов роста растений, а также воздействие монохроматического излучения различного спектрального состава на рост и накопление вторичных метаболитов в каллусной культуре овощного батата (*Ipomoea batatas* L.). Установлено, что аналоги ауксинов в низких концентрациях (0.5 мг/л) значительно стимулируют прирост биомассы клеток, при этом эффект 4-хлорфеноксикусной кислоты (4-ХФУК) был более выражен (стимуляция в 16 раз), чем у 2,4-дихлорфеноксикусной кислоты (2,4-Д) (стимуляция в 13.5 раз). Как увеличение концентрации 2,4-Д и 4-ХФУК в среде, так и добавление цитокина, 6-бензиламинопурина (БАП), приводило к существенному ингибированию роста культур (до 3 раз). В отличие от 2,4-Д, добавление 4-ХФУК приводило к 8-кратному повышению в культивируемых клетках суммарного содержания полифенольных соединений. Активирующее влияние 4-ХФУК на биосинтетические характеристики культуры клеток *I. batatas* сохранялось и при внесении БАП, тогда как увеличение концентрации 4-ХФУК приводило к нивелированию активирующего действия. Монохроматическое излучение – белый, красный (660 и 630 нм), желтый, зеленый, синий (440 и 460 нм) свет ингибировали рост (до 1.5 раз) и суммарное накопление вторичных метаболитов в клетках *I. batatas* (до 1.8 раз). При этом белый, яркий синий и красный спектры дифференцировано активировали образование отдельных соединений – 3,4-ди-кофеилхинной кислоты и 3-ферулоил-5-кофеилхинной кислоты. Таким образом, мы установили, что как аналоги ауксина, так и спектральное излучение проявляют различное влияние на ростовые и биосинтетические характеристики культуры *I. batatas*.

**Ключевые слова:** *Ipomoea batatas*, клеточная культура, регуляторы роста растений, монохроматическое излучение, вторичный метаболизм, кофеилхинные кислоты

**DOI:** 10.31857/S0015330323600808, **EDN:** BGODUV

## ВВЕДЕНИЕ

Овощной батат (*Ipomoea batatas* L.) является продовольственной культурой, возделываемой преимущественно в странах Южной Америки и

Азии. *I. batatas* занимает 7 место в мире по объему производства после пшеницы, риса, кукурузы, картофеля, ячменя и маниоки [1]. Помимо питательной ценности, растения *I. batatas* синтезируют обширный спектр ценных вторичных метаболитов, включая антоцианы, каротиноиды, смесь фенольных кислот, прежде всего кофейную, хлорогеновую и производные кофеилхинной кислоты [2]. Изомеры кофейной кислоты, такие как хлорогеновая кислота (ХГК), моно- и ди- кофеилхинные кислоты (КХК) обладают противоопухолевой, антиоксидантной, гепатопротекторной, антидиабетическими и другими свойствами [2, 3].

<sup>1</sup> Дополнительная информация для этой статьи доступна по doi 10.31857/S0015330323600808 для авторизованных пользователей.

**Сокращения:** 4-ХФУК – 4-хлорфеноксикусная кислота; 2,4-Д – 2,4-дихлорфеноксикусная кислота; БАП – 6-бензиламинопурин; ХГК – хлорогеновая кислота; 3,4-, 3,5- и 4,5-ди-КХК – 3,4-, 3,5- и 4,5-ди-кофеилхинные кислоты, соответственно; 3-К-5-КХК – 3-кафеоил-5-кумароилхинная кислота; 3-Ф-5-КХК – 3-ферулоил-5-кофеилхинная кислота; 3-К-5-ФХК – 3-кафеоил-5-ферулоилхинная кислота.

Например, было высказано предположение, что 3-КХК снижает риск развития диабета 2 типа за счет активации аденоzinмонофосфат киназы (AMPK), в которой AMPK выступает в роли переключателя между расходом и производством АТФ [4]. Однако в большинстве фармакологических исследований в качестве источника КХК использовался кофе, что ограничивало масштабирование и интерпретацию результатов. Поэтому каллусная культура *I. batatas*, может служить моделью для изучения способов регуляции метаболизма ХГК, моно- и ди-КХК.

Ранее было показано, что в клубнеплодах овощного батата содержится скополин, который относится к кумаринам – классу фитохимических веществ, обладающих значительной биологической активностью и широко используемых в медицине и косметической промышленности [5]. Хотя многочисленные исследования показали, что различные кумарины встречаются в природе у нескольких видов растений, детали биосинтеза кумаринов и его регуляции изучены недостаточно хорошо. Ранее было показано, что кумарины (преимущественно скополин и скополетин) встречаются в корнях *Arabidopsis thaliana*, но до сих пор ничего не известно о природной вариации их накопления в этом модельном растении [5]. Общее содержание полифенолов в клубнеплодах было изучено в нескольких работах, однако полученные значения сильно отличались [6, 7]. Широкая вариабельность содержания полифенолов в овощном батате связана с его генетическим разнообразием [6]. На эту вариабельность также могут влиять такие факторы окружающей среды, как тип почвы, ультрафиолетовое излучение, количество осадков, степень спелости, а также метод выращивания [8].

На сегодняшний день технология культуры клеток растений является альтернативным источником природных соединений растительного происхождения. Вторичные метаболиты, полученные из культур тканей, могут быть получены в непрерывной системе производства и без экологических ограничений, поскольку физические условия, такие как температура, световой режим, доступность питательных веществ, pH и т.д., могут контролироваться в условиях *in vitro* [9]. Таким образом, подбор подходящей культуральной среды играет важную роль в производстве вторичных метаболитов. Использование таких компонентов среды, как макро- и микроэлементы, витамины, углеводы (сахара), аминокислоты и в особенности регуляторы роста растений, например, цитокинины и ауксины, могут индуцировать образование различных типов тканей и модулировать их продуктивность [10]. Более того, производство фитокомпонентов может быть усилено с помощью жасминовой и салициловой кислот [11], ионов металлов [12], наночастиц металлов [13],

или физических воздействий [14], а также с применением метаболической инженерии [15]. Одним из преимуществ использования фитогормонов является быстрое транскрипционное перепрограммирование, приводящее к согласованной активации всех метаболических путей только в тот момент, когда это необходимо [16]. Несмотря на это, существенным недостатком их использования является снижение роста и жизнеспособности клеток [17]. В качестве направленного способа регуляции биосинтеза вторичных метаболитов обычно используют методы генной инженерии. Однако этот подход требует глубокого понимания экспрессии генов, участвующих в биосинтезе и времени для получения трансгенных клеточных линий [18]. Другим недостатком использования трансгенных клеточных культур растений является нестабильность экспрессии генов в процессе культивирования. Описаны случаи понижения биосинтеза резвератрола в течение длительного периода культивирования *rolB*-экспрессирующей клеточной культуры *Vitis amurensis* [19]. И, наоборот, сообщалось, что культивирование *rolA*-экспрессирующих каллусов *R. cordifolia* в течение 10 лет демонстрировали не только стабильный рост, но и сохранили способность к сверхпродуктивности антрахинонов [20].

Среди физических воздействий свет является важным фактором, влияющим на ростовые характеристики и продукцию вторичных метаболитов [21]. В отличие от традиционных источников флуоресцентного света, используемых в культурах *in vitro*, светодиоды имеют множество преимуществ, включая монохроматический спектр, меньшее количество выделяемого тепла и экономичность [22]. Качество света и специфичность длины волны способствовали биосинтезу метаболитов у многих видов растений [23]. Было показано, что синий свет активировал рост и накопление фенольных кислот в клетках лимонника китайского (совместно с ди-бензоциклооктадиеновыми лигнанами) [24], фенольных соединений в каллусах *Gynura procumbens* [25]. Красный спектр стимулировал продукцию флавоноидов и фенольных соединений в клеточной культуре *Withania somnifera* [26]. Также известно, что зеленый тормозил рост культуры *in vitro* *Artemisia annua*, а синий свет, наоборот, активировал [27]. Bajwa с соавт. [23] показали, что постоянный белый свет обеспечил оптимальные условия для накопления биомассы и флавоноидов в каллусах *Moringa oleifera*, а синий 460 нм активировал накопление хлорогеновой кислоты. Многочисленные отчеты показали, что качество света влияет на морфологию и физиологию растений, которые значительно колеблются в зависимости от вида растений и конкретных метаболитов. Поэтому использование света кажется простым и экономически выгодным процессом для устойчивого производства важных вторичных метаболитов.

Применение культуры клеток как для научных, так и практических целей подразумевает оптимизацию условий для роста и биосинтеза целевых продуктов. Целью нашей работы было изучение влияния различных регуляторов роста и спектров монохроматического излучения на ростовые характеристики и накопление вторичных метаболитов в каллусных культурах *I. batatas*.

## МАТЕРИАЛЫ И МЕТОДЫ

Клубнеплоды овощного батата *I. batatas* "Taizhong" были приобретены у местного поставщика (Dalian Jia Wei Cheng International Trading Co., Ltd.) и пророщены в хорошо дренированной песчаной почве (рН 6–6.5) в условиях искусственного освещения 16/8 (день/ночь) при 25°C. Листья 40-дневных растений овощного батата использовали для индукции каллуса. Листья стерилизовали в течение 10 мин в 5% растворе гипохлорита натрия и затем трижды промывали в стерильной дистиллированной воде. Дезинфицированные экспланты переносили на МС-среду [28], содержащую 6 г/л агара, 25 г/л сахарозы. Индукцию каллусообразования проводили на питательных средах с добавлением 1 мг/л 2,4-Д. Для изучения влияния фитогормонов на рост биомассы и профиль вторичных метаболитов в среды добавляли растительные гормоны: 2,4-Д (0.5 или 2 мг/л), а также 4-ХФУК и БАП (1 мг/л) ("Merck", Германия) и пассирували в течение четырех циклов. Каллусы культивировали в темноте при 25 ± 1°C, пересадку проводили каждые 28 дней. Для всех экспериментов использовали равные навески клеточной биомассы по 150 мг.

Характеристику ростовых показателей проводили путем измерения веса сырой биомассы каждые 7 дней.

Индекс роста рассчитывали по формуле:

$$I = (m_{\max} - m_0)/m_0,$$

где  $m_0$  и  $m_{\max}$  начальная и максимальная (на 28 день цикла) масса каллуса, соответственно.

Удельную скорость роста рассчитывали по формуле:

$$\mu = (\ln X_2 - \ln X_1)/(t_2 - t_1),$$

где  $X_2$  и  $X_1$  – значения критерия роста в момент времени  $t_2$  и  $t_1$ , соответственно. Удельную скорость роста расчитывали для экспоненциальной фазы роста.

Время удвоения биомассы рассчитывали по формуле:

$$T_{\text{удв}} = \ln(2)/\mu,$$

где  $\ln(2)$  – натуральный логарифм числа 2 (приблизенно 0.6931),  $\mu$  – удельная скорость роста.

Процент оводненности рассчитывали по формуле:

$$\text{Оводненность (\%)} = ((W_{\text{св}} - W_{\text{сух}})/W_{\text{св}}) \times 100,$$

где  $W_{\text{св}}$  – вес свежей ткани,  $W_{\text{сух}}$  – вес сухой ткани.

Жизнеспособность культур клеток определяли посредством окрашивания клеток прижизненным красителем 0.1% раствора метиленового синего ("Merck", Германия). Для подсчета живых (неокрашенных) и мертвых (окрашенных) клеток использовали световой микроскоп AxioScope 40 ("Carl Zeiss", Германия).

Влияние света на ростовые характеристики и накопление вторичных метаболитов каллусами овощного батата проводили с использованием светодиодных источников освещения разного спектрального состава: полихромного белого (Б), монохромного глубокого красного (ГК, 660 нм), красного (К, 630 нм), желтого (Ж, 600 нм), зеленого (З, 514 нм), синего (С, 460) и яркого синего (ЯС, 440 нм). Источники освещения были установлены в специальный бокс с отдельными секциями, стенки которого были оклеены светоотражающим алюминиевым покрытием для равномерного рассеивания света [29]. Интенсивность излучения измеряли спектрофотометром ТКА-Спектрум (НТП "ТКА", Россия), в эксперименте она составляла 49 мкМ фотонов/(м<sup>2</sup> с). В данном эксперименте выращивание каллусных культур в темноте при 25 ± 1°C принимали за контроль.

Пробы для аналитической высокоэффективной жидкостной хроматографии (ВЭЖХ) готовили из 50 мг высущенной и измельченной каллусной ткани. В работе применяли два различных способа высушивания биомассы: с помощью бытового дегидратора для овощей Polaris PFD 1005 ("Texton corporation LLC", Китай) или лабораторного вакуумного концентратора Eppendorf Concentrator plus ("Eppendorf", Германия) при 30°C в течение 2 ч. Экстракцию проводили 80% раствором метилового спирта. Гомогенаты обрабатывали в ультразвуковой бане при 40°C в течение 30 мин, затем инкубировали в течение 20 ч в темноте при комнатной температуре. Полученные экстракти центрифугировали в течение 15 мин при 15000 g ("Beckman Coulter Microfuge" 22R, США). Надосадочную жидкость очищали с помощью 0.45 мкм фильтра (нейлон, Millipore, "Bedford", MA, США) и затем использовали для ВЭЖХ-анализа.

ВЭЖХ анализ полученных экстрактов проводили на хроматографе 1260 Infinity ("Agilent", США) как описано ранее [21]. Хроматографическое разделение проводили на аналитической колонке Zorbax C18 (150 × 2.1 мм, 3.5 мкм, "Agilent", США) при 40°C. УФ-спектры записывали в диапазоне длин волн  $\lambda$  от 200 до 400 нм с использова-

**Таблица 1.** Характеристики роста каллусной культуры *I. batatas* при выращивании на средах с различными комбинациями регуляторов роста.

Содержание регуляторов роста в среде	Индекс роста	Удельная скорость роста, г/сут	Время удвоения биомассы, дни	Оводненность, %
2,4-Д* (0.5 мг/л)	13.57 ± 1.02 <sup>б</sup>	0.096 ± 0.0080 <sup>aб</sup>	7.2 ± 0.6 <sup>вг</sup>	91.4 ± 4.53 <sup>a</sup>
2,4-Д (2 мг/л)	6.53 ± 0.51 <sup>гд</sup>	0.072 ± 0.0068 <sup>вг</sup>	9.6 ± 0.8 <sup>аб</sup>	91.0 ± 3.68 <sup>a</sup>
2,4-Д + БАП (0.5/1 мг/л)	6.98 ± 0.55 <sup>г</sup>	0.074 ± 0.0070 <sup>вг</sup>	9.3 ± 0.6 <sup>аб</sup>	91.3 ± 4.12 <sup>a</sup>
2,4-Д + БАП (2/1 мг/л)	5.2 ± 0.41 <sup>д</sup>	0.065 ± 0.0061 <sup>г</sup>	10.6 ± 0.8 <sup>a</sup>	91.2 ± 3.87 <sup>a</sup>
4-ХФУК (0.5 мг/л)	16.08 ± 1.24 <sup>a</sup>	0.101 ± 0.0096 <sup>a</sup>	6.8 ± 0.4 <sup>г</sup>	90.9 ± 4.21 <sup>a</sup>
4-ХФУК (2 мг/л)	9.56 ± 0.75 <sup>в</sup>	0.084 ± 0.0069 <sup>бв</sup>	8.2 ± 0.6 <sup>бв</sup>	90.6 ± 3.74 <sup>a</sup>
4-ХФУК + БАП (0.5/1 мг/л)	5.48 ± 0.43 <sup>гд</sup>	0.066 ± 0.0052 <sup>г</sup>	10.4 ± 0.8 <sup>a</sup>	91.1 ± 3.96 <sup>a</sup>
4-ХФУК + БАП (2/1 мг/л)	6.46 ± 0.51 <sup>гд</sup>	0.072 ± 0.0068 <sup>вг</sup>	9.7 ± 0.8 <sup>аб</sup>	90.4 ± 4.1 <sup>a</sup>

Примечание: \*4-ХФУК – 4-хлорфеноксикусная кислота; 2,4-Д – 2,4-дихлорфеноксикусная кислота; БАП – 6-бензиламинопурин. Средние значения, за которыми следует одна и та же буква, не различались по критерию наименьшей значимой разницы Фишера ( $P < 0.05$ ).

нием детектора на диодной матрице G1315D (“Agilent”, США). Подвижная фаза состояла из раствора муравьиной кислоты (0.1%) в деионизированной воде (А) и ацетонитрила (Б). Градиентное элюирование проводили со скоростью потока растворителей 0.2 мл/мин: 0 мин 5% Б; 20 мин 30% Б; 30 мин 100% Б. УФ-сигнал для количественного определения записывали при  $\lambda = 325$  нм. Расчет количественного содержания отдельных компонентов экстрактов производили методом абсолютной градуировки с использованием аналитических стандартов (Дополнительные материалы, рис. S1) (хлорогеновая кислота и цинарин, “Sigma-Aldrich”, США) как описано ранее [21]. Масс-спектрометрические данные получали с использованием tandemного масс-спектрометра Bruker HCT ultra PTM Discovery System (“Bruker Daltonik”, GmbH, Германия) оснащенного ионной ловушкой. Расчет количественного содержания отдельных компонентов экстрактов производили методом абсолютной калибровки с использованием аналитических стандартов: скополетин (“Serva-Feinbiochemica”, Германия), хлорогеновая кислота и цинарин (“Sigma-Aldrich”, США) как описано ранее [21].

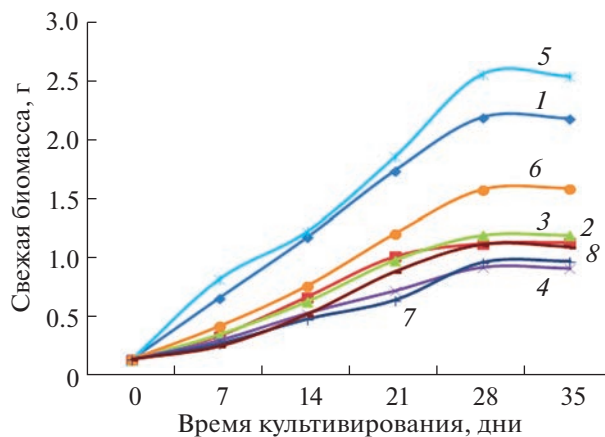
Определение ростовых параметров, содержания вторичных метаболитов и жизнеспособности клеток проводили в трех биологических повторностях. Полученные данные обрабатывали с использованием пакета “Statistica” версии 13.0. Для сравнения средних более двух независимых выборок использовали дисперсионный анализ (ANOVA) по критерию наименьшей значимой разницы Фишера (LSD). Парные сравнения проводили с помощью *t*-критерия Стьюдента. Кри-

тический уровень значимости при проверке статистических гипотез составлял  $P < 0.05$ .

## РЕЗУЛЬТАТЫ

Регуляторы роста являются неотъемлемым элементом питательных сред для стимуляции деления и роста растительных клеток в условиях *in vitro*. Пролиферация растительных клеток оказывает влияние на формирование биомассы каллуса, что в свою очередь имеет значение для продукции ценных вторичных метаболитов. Чтобы определить оптимальное сочетание и концентрацию гормонов для клеточной культуры *I. batatas*, проводили культивирование каллусов в течение 28 дней на средах, содержащих регуляторы роста ауксиновой природы: 4-хлорфеноксикусную кислоту (4-ХФУК) и 2,4-дихлорфеноксикусную кислоту (2,4-Д) как отдельно, так и в комбинации с 6-бензиламинопурином (БАП).

Наибольший индекс роста клеточной культуры был зарегистрирован на средах, содержащих 0.5 мг/л 2,4-Д или 4-ХФУК, и составил 13.57 и 16.08, соответственно (табл. 1). Однако следует отметить, что 4-ХФУК оказала более выраженное стимулирующее воздействие на накопление сырой биомассы по сравнению с 2,4-Д. При этом повышение концентрации этих ауксинов в питательной среде до 2 мг/л приводило к обратному эффекту – снижению индекса роста в 2 и 1.7 раза, соответственно. Совместное применение 0.5 мг/л 2,4-Д или 4-ХФУК с БАП вызвало почти двукратное понижение индекса роста культур по сравнению с действием этих ауксинов без добавления цитокинина. Наибольшая удельная скорость ро-



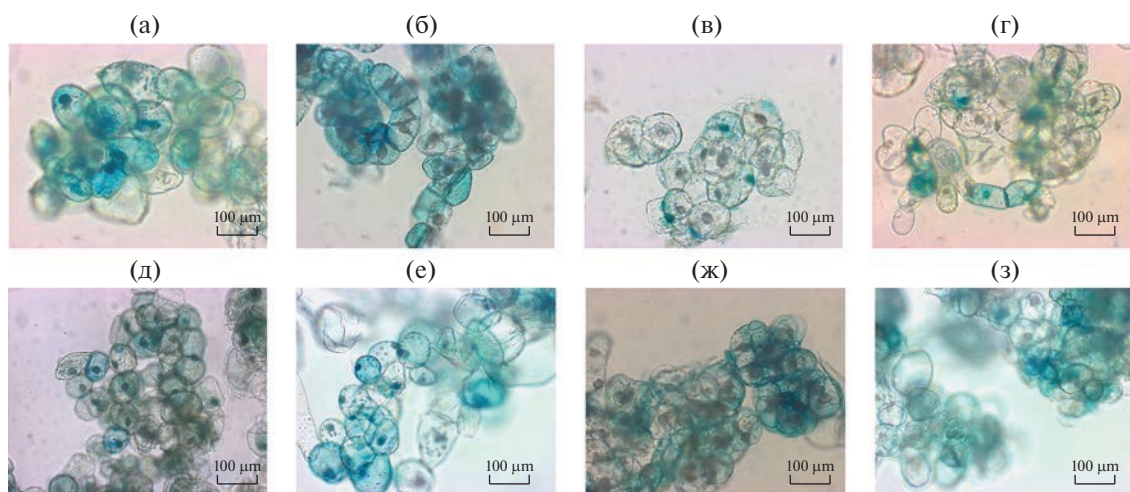
**Рис. 1.** Динамика роста каллусной культуры *I. batatas*, выращенной на питательных средах с различным сочетанием и концентрацией регуляторов роста: 1 – 2,4-Д (0.5 мг/л), 2 – 2,4-Д (2 мг/л), 3 – 2,4-Д + БАП (0.5/1 мг/л), 4 – 2,4-Д + БАП (2/1 мг/л), 5 – 4-ХФУК (0.5 мг/л), 6 – 4-ХФУК (2 мг/л), 7 – 4-ХФУК + БАП (0.5/1 мг/л), 8 – 4-ХФУК + БАП (2/1 мг/л).

ства 0.096 и 0.101 г/сут. была достигнута при выращивании каллусов на среде, содержащей 0.5 мг/л 2,4-Д или 4-ХФУК, соответственно (табл. 1). Наиболее быстрое удвоение биомассы каллусной культуры – 6.8 и 7.2 дней мы наблюдали при использовании 0.5 мг/л 4-ХФУК или 2,4-Д, соответственно (табл. 1). Интересно, что увеличение концентрации этих гормонов или использование в комбинации с БАП приводило к снижению удельной скорости роста и времени удвоения биомассы каллусов до 1.5 раз. Показатели оводненности каллусных культур, на всех протестированных средах достоверно не отличались (табл. 1).

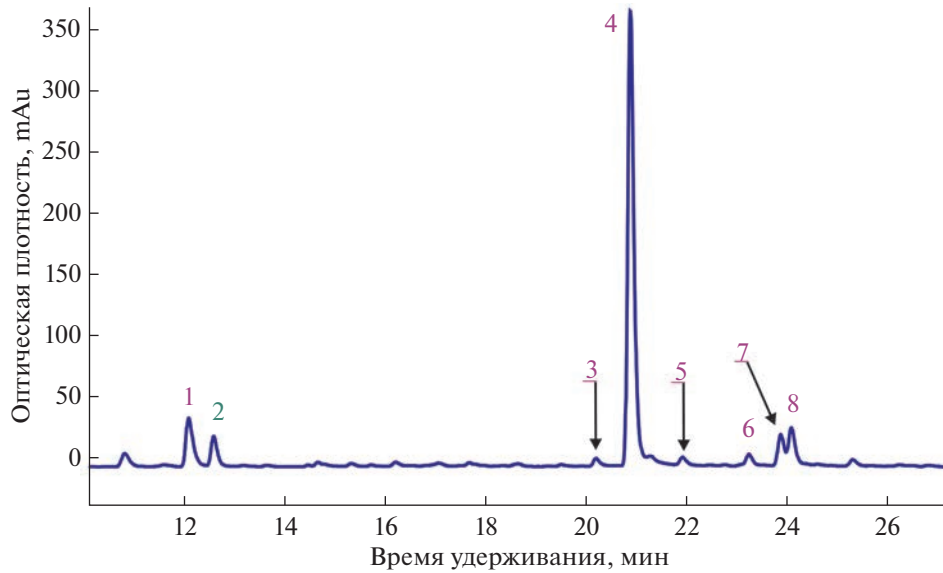
Для изучения динамики роста клеток мы проводили измерение биомассы каждые 7 дней в течение всего периода культивирования (рис. 1). Было отмечено, что на всех типах сред лаг-фаза длилась 3–4 сут. После чего следовала фаза экспоненциального роста, которая продолжалась 25 дней, сменялась стадией замедления, а после четырех недель культивирования клетки вступали в стационарную фазу. Интересно, что на средах, содержащих 0.5 мг/л 2,4-Д или 4-ХФУК, всего через 2 нед. культивирования происходило 10-кратное увеличение биомассы клеток. При этом другие сочетания гормонов обеспечивали 4–8 кратный рост биомассы не менее, чем через 2 нед. культивирования.

Физиологическое состояние каллусных культур оценивали с использованием окрашивания клеток прижизненным красителем метиленовым синим. По окончании 4 нед. культивирования мы наблюдали высокий уровень жизнеспособности клеток, составляющий 70–80% (рис. 2). Отмечено, что клеточная культура, выращенная на среде с добавлением 0.5 мг/л 4-ХФУК, имела более однородную форму и размер клеток, а также обладала максимальным процентом живых клеток, по сравнению с другими вариантами питательной среды. На основании полученных результатов можно заключить, что аналог ауксина 4-ХФУК в концентрации 0.5 мг/л является оптимальным стимулятором роста каллусной культуры *I. batatas*. Поэтому все дальнейшие эксперименты проводились на каллусных тканях, выращенных на МС-среде с добавлением 0.5 мг/л 4-ХФУК.

С использованием ВЭЖХ-УФ-МС(/МС) в неочищенных экстрактах *I. batatas* были детектированы и охарактеризованы восемь соединений по-



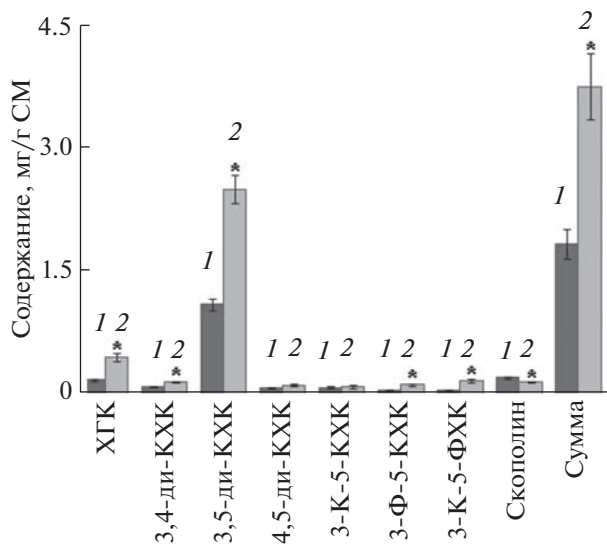
**Рис. 2.** Микрофотографии клеток каллусных культур *I. batatas*, выращенных на питательных средах с различным сочетанием и концентрацией регуляторов роста: (а) – 2,4-Д (0.5 мг/л), (б) – 2,4-Д (2 мг/л), (в) – 2,4-Д + БАП (0.5/1 мг/л), (г) – 2,4-Д + БАП (2/1 мг/л), (д) – 4-ХФУК (0.5 мг/л), (е) – 4-ХФУК (2 мг/л), (ж) – 4-ХФУК + БАП (0.5/1 мг/л), (з) – 4-ХФУК + БАП (2/1 мг/л).



**Рис. 3.** Хроматографический профиль вторичных метаболитов (ВЭЖХ, 325нм) экстрактов каллусной культуры *I. batatas*, выращенной в контрольных условиях.

лифенольной природы (рис. 3; Дополнительные материалы, табл. S1). Семь из них – это производные кофейной и хинной кислот: 1 – хлорогеновая кислота (ХГК), 3-5 – 3,4-, 3,5-, 4,5-ди-кофеилхинные кислоты (ди-КХК) соответственно,

6 – 3-кафеол-5-кумароилхинная кислота (3-К-5-КХК), 7 – 3-ферулоил-5-кофеилхинная кислота (3-Ф-5-КХК), 8 – 3-кафеол-5-ферулоилхинная кислота (3-К-5-ФХК) [21]. Соединение 2 было идентифицировано благодаря его УФ-спектру (Дополнительные материалы, рис. S2) сходному со спектром стандартного образца скополетина и подтверждено масс-спектрометрическими данными (Дополнительные материалы, рис. S3) и определено как скополин (глюкозид скополетина).



**Рис. 4.** Влияние условий сушки биомассы каллусов *I. batatas* на содержание вторичных метаболитов: 1 – вакуумный концентратор, 2 – бытовой дегидратор. ХГК – хлорогеновая кислота; 3,4-, 3,5- и 4,5-ди-КХК – 3,4-, 3,5- и 4,5-ди-кофеилхинные кислоты, соответственно; 3-К-5-КХК – 3-кафеол-5-кумароилхинная кислота; 3-Ф-5-КХК – 3-ферулоил-5-кофеилхинная кислота; 3-К-5-ФХК – 3-кафеол-5-ферулоилхинная кислота; СМ – сухая масса клеток. \* – указывает на достоверность различий средних значений по *t*-критерию Стьюдента ( $P < 0.05$ ).

#### Влияние способов сушки на содержание вторичных метаболитов

Прежде чем приступить к изучению действия различных факторов на вторичный метаболизм *I. batatas*, мы решили определить влияние условий сушки биомассы каллусов на содержание в них целевых метаболитов. Высушивание каллусных клеток в токе горячего воздуха с помощью бытового дегидратора является наиболее распространенным способом пробоподготовки растительной биомассы. Однако воздействие кислорода воздуха может способствовать окислительным процессам, тогда как использование вакуумного концентратора позволяет избежать прямого контакта образца с воздухом. Было установлено, что в пробах, высущенных в обычном дегидраторе общее содержание полифенолов в 2 раза превышало значения образцов, приготовленных с использованием вакуумного концентратора (рис. 4; Дополнительные материалы, рис. S4). При этом использование вакуумного концентратора способствовало более высокому содержанию скополина. Интересным является и

тот факт, что метод сушки не оказал значительного влияния на содержание 4,5-ди-КХК и 3-К-5-КХК. В связи с выявленными особенностями, всю дальнейшую пробоподготовку осуществляли в дегидраторе.

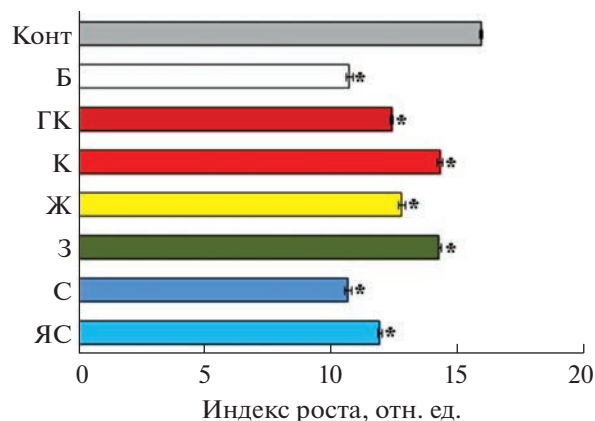
#### *Влияние регуляторов роста на накопление вторичных метаболитов в культуре *I. batatas**

Метаболический профиль каллусных культур *I. batatas* при воздействии различных сочетаний и концентраций гормонов в целом имел схожий состав (табл. 2). Во всех образцах преимущественно обнаружены такие соединения как ХГК, 3,5-ди-КХК и скополин (Дополнительные материалы, рис. S5). Исключение составляли лишь каллусы, выращенные на средах с повышенным содержанием 2,4-Д, накопление вторичных метаболитов в которых оказалось практически полностью ингибировано. Подобная тенденция прослеживалась и в отношении 4-ХФУК: повышение концентрации гормона снижало выход вторичных соединений в 9 раз. Наибольшее содержание полифенолов отмечено на средах с добавлением 0.5 мг/л 4-ХФУК как отдельно, так и в сочетании с БАП. Интересно отметить, что в присутствии 2,4-Д данный цитокинин способствовал активации вторичного метаболизма, тогда как в сочетании с 4-ХФУК, напротив, приводил к снижению продуктивности культивируемых клеток *I. batatas*. В то же время БАП в равной степени подавлял рост культур в присутствии обоих ауксинов.

**Таблица 2.** Содержание вторичных метаболитов в каллусной культуре *I. batatas*, выращенных на питательных средах с различным сочетанием и концентрацией регуляторов роста.

Содержание вторичных метаболитов, мг/г сухой массы	2,4-Д* (0.5 мг/л)	2,4-Д (2 мг/л)	2,4-Д + БАП (0.5/1 мг/л)	2,4-Д + БАП (2/1 мг/л)	4-ХФУК (0.5 мг/л)	4-ХФУК (2 мг/л)	4-ХФУК + БАП (0.5/1 мг/л)	4-ХФУК + БАП (2/1 мг/л)
ХГК**	0.12 ± 0.013 <sup>b</sup>	н.о.	0.18 ± 0.024 <sup>b</sup>	н.о.	0.46 ± 0.060 <sup>a</sup>	0.09 ± 0.010 <sup>b</sup>	0.41 ± 0.059 <sup>a</sup>	0.10 ± 0.009 <sup>b</sup>
3,4-ди-КХК	0.03 ± 0.004 <sup>bf</sup>	н.о.	0.04 ± 0.004 <sup>b</sup>	н.о.	0.24 ± 0.023 <sup>a</sup>	0.02 ± 0.003 <sup>f</sup>	0.09 ± 0.009 <sup>b</sup>	0.02 ± 0.002 <sup>f</sup>
3,5-ди-КХК	0.44 ± 0.054 <sup>f</sup>	0.03 ± 0.003 <sup>d</sup>	0.94 ± 0.118 <sup>b</sup>	0.03 ± 0.003 <sup>d</sup>	4.29 ± 0.575 <sup>a</sup>	0.41 ± 0.005 <sup>f</sup>	2.53 ± 0.292 <sup>b</sup>	0.34 ± 0.045 <sup>f</sup>
4,5-ди-КХК	0.04 ± 0.004 <sup>b</sup>	н.о.	0.04 ± 0.005 <sup>b</sup>	н.о.	0.21 ± 0.029 <sup>a</sup>	0.02 ± 0.003 <sup>f</sup>	0.10 ± 0.014 <sup>b</sup>	0.02 ± 0.002 <sup>f</sup>
3-К-5-КХК	0.04 ± 0.005 <sup>d</sup>	н.о.	0.06 ± 0.007 <sup>fd</sup>	н.о.	0.21 ± 0.027 <sup>a</sup>	0.08 ± 0.009 <sup>bf</sup>	0.14 ± 0.015 <sup>b</sup>	0.06 ± 0.007 <sup>fd</sup>
3-Ф-5-КХК	0.02 ± 0.002 <sup>f</sup>	н.о.	0.05 ± 0.005 <sup>b</sup>	н.о.	0.18 ± 0.019 <sup>a</sup>	0.01 ± 0.001 <sup>f</sup>	0.11 ± 0.013 <sup>b</sup>	0.02 ± 0.001 <sup>f</sup>
3-К-5-ФХК	0.02 ± 0.002 <sup>f</sup>	н.о.	0.04 ± 0.004 <sup>b</sup>	н.о.	0.19 ± 0.021 <sup>a</sup>	0.01 ± 0.001 <sup>f</sup>	0.11 ± 0.013 <sup>b</sup>	0.01 ± 0.001 <sup>f</sup>
Скополин	0.12 ± 0.013 <sup>b</sup>	н.о.	0.23 ± 0.029 <sup>b</sup>	н.о.	0.56 ± 0.062 <sup>a</sup>	0.08 ± 0.009 <sup>f</sup>	0.27 ± 0.028 <sup>b</sup>	0.13 ± 0.016 <sup>b</sup>
Сумма	0.82 ± 0.097 <sup>f</sup>	0.03 ± 0.003 <sup>d</sup>	1.58 ± 0.185 <sup>b</sup>	0.03 ± 0.003 <sup>d</sup>	6.34 ± 0.761 <sup>a</sup>	0.71 ± 0.085 <sup>f</sup>	3.75 ± 0.443 <sup>b</sup>	0.69 ± 0.081 <sup>f</sup>

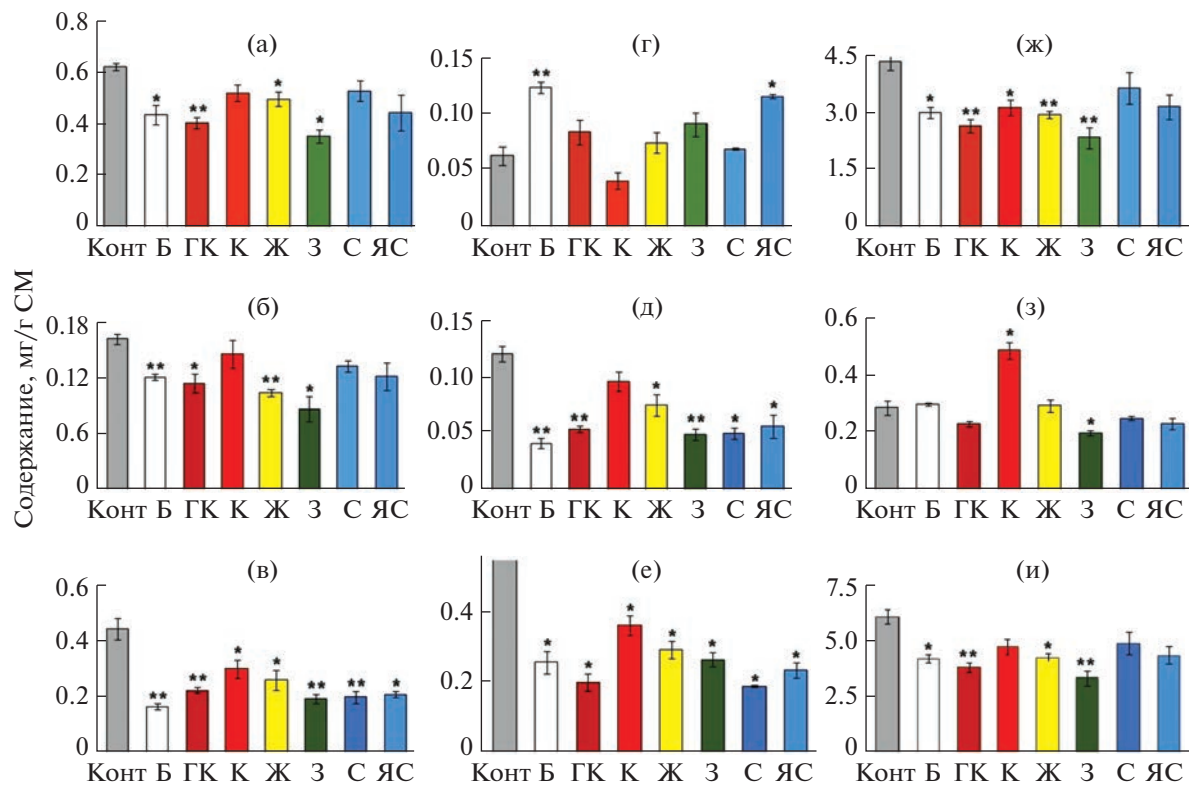
Примечание: \*4-ХФУК – 4-хлорфеноксикусная кислота; 2,4-Д – 2,4-дихлорфеноксикусная кислота; БАП – 6-бензиламинопурин, \*\*ХГК – хлорогеновая кислота; 3,4-, 3,5- и 4,5-ди-КХК – 3,4-, 3,5- и 4,5-ди-кофеилхинные кислоты, соответственно; 3-К-5-КХК – 3-кафеоил-5-кумароилхинная кислота; 3-Ф-5-КХК – 3-ферулоил-5-кофеилхинная кислота; 3-К-5-ФХК – 3-кафеоил-5-ферулоилхинная кислота, н.о., соединение не обнаружено. Средние значения, за которыми следует одна и та же буква, не различались по критерию наименьшей значимой разницы Фишера ( $P < 0.05$ ).



**Рис. 5.** Индекс роста каллусных культур *I. batatas* под воздействием различных спектров освещения. Конт – темнота; Б – белый; ГК – глубокий красный; К – красный; Ж – желтый; З – зеленый; С – синий; ЯС – яркий синий. \* – указывает на достоверность различий средних значений по *t*-критерию Стьюдента ( $P < 0.05$ ).

#### *Влияние спектров монохроматического излучения на ростовые и биосинтетические характеристики клеточной культуры *I. batatas**

Далее мы изучили влияние монохроматического света различных спектров на рост биомассы и накопление вторичных метаболитов в каллусах *I. batatas*. В качестве контроля в данном эксперименте использовали культуру, выращенную в темноте. В целом, все спектры излучения вызывали значимое снижение индекса роста каллусных клеток *I. batatas* (рис. 5). Наибольший по-



**Рис. 6.** Влияние различных спектров освещения на синтез вторичных метаболитов в клеточной культуре *I. batatas*: (а) – ХГК, (б) – 4,5-ди-КХК, (в) – 3-К-5-ФХК, (г) – 3,4-ди-КХК, (д) – 3-К-5-КХК, (е) – скополин, (ж) – 3,5-ди-КХК, (з) – 3-Ф-5-ХК, (и) – сумма вторичных метаболитов. Конт – темнота; Б – белый; ГК – глубокий красный; К – красный; Ж – желтый; З – зеленый; С – синий; ЯС – яркий синий. \* – указывает на достоверность различий средних значений по *t*-критерию Стьюдента ( $P < 0.05$ ).

давляющий эффект отмечен при использовании белого и синего спектров.

Воздействие света также приводило к снижению накопления вторичных метаболитов (рис. 6; Дополнительные материалы, рис. S6). В каллусах, выращенных в контрольных условиях, содержание КХК было максимальным и составило 6.1 мг/г сухой массы. Содержание производных КХК в каллусах под воздействием зеленого и глубокого красного спектров было снижено в 1.8 и 1.6 раз, соответственно, по сравнению с контролем. Пониженное содержание КХК также наблюдалось в каллусах, выращенных под воздействием синего и яркого синего спектров освещения, однако разница с контролем в них не была статистически достоверна. Все типы монохромного излучения значительно снижали содержание скополина с наиболее выраженным влиянием глубокого красного и синего спектров освещения. Интересно, что воздействие света на накопление одного из минорных компонентов клеточной культуры *I. batatas*, 3,4-ди-КХК, отличалось. Так белый и ярко синий спектры вызвали двукратное увеличение содержания данного соединения, в то время как другие типы спектров не оказывали су-

щественного влияния на накопление вторичных метаболитов. Подобное дифференцированное воздействие отмечено также для 3-Ф-5-КХК, содержание которого увеличилось в 1.8 раза только под воздействием красного спектра света, в то время как зеленый свет достоверно снижал ее содержание. Стоит отметить, что два красных и два синих варианта освещения, хотя и имеют разницу всего в 30 и 20 нм, соответственно, значительно отличались по своему воздействию на синтез практических всех изученных производных ХГК.

## ОБСУЖДЕНИЕ

Овощной батат является одним из ключевых культурных растений в мировом аграрном секторе. Изучение сладкого картофеля с позиции физиологии и биотехнологии растений открывает новые возможности для оптимизации его качеств, устойчивости к болезням и стрессам, а также улучшения питательных характеристик. Применение клеточных культур в этом контексте имеет ряд преимуществ. Клеточные культуры являются альтернативной модельной системой для изучения молекулярных и клеточных реакций на раз-

личные абиотические и биотические стрессы [21]. Накопление вторичных метаболитов в растениях подвержено влиянию многих внешних факторов, что затрудняет их использование для получения ценных вторичных метаболитов. В то же время клеточные культуры, рост которых осуществляется в контролируемых условиях, являются стабильным и воспроизводимым источником активных соединений [30].

В настоящей работе изучено влияние гормональных и спектральных условий культивирования на ростовые и биосинтетические характеристики клеточной культуры овощного батата, как продукента соединений полифенольной природы — производных КХК. Анализ ростовых характеристик каллусной культуры *I. batatas* в присутствии различных регуляторов роста показал существенные различия. Наличие в среде 0.5 мг/л 4-ХФУК или 2,4-Д в качестве ауксинов вызывало двукратное повышение индекса роста каллусной культуры по сравнению с другими сочетаниями и концентрациями фитогормонов. При этом было показано, что каллусы *I. batatas* сортов Пурпл, Jewel и Порто Рико демонстрировали наилучшую пролиферацию на МС-среде в присутствии 1 мг/л НУК [31]. Цитокинин БАП оказывал ингибирующее влияние на рост культуры, как в комбинации с 4-ХФУК, так и с 2,4-Д при всех изученных концентрациях ауксинов. Ранее было показано, что 2.6 мкМ 4-ХФУК эффективнее стимулировали пролиферацию каллусных клеток *Ananas comosus* по сравнению с 2,4-Д [32]. Вероятно, высокая эффективность 4-ХФУК может быть связана с более высокой скоростью поглощения и метаболизма по сравнению с 2,4-Д. Ранее было показано, что время мобилизации 2,4-Д в тканях растений значительно уступает другим ауксинам [33]. Отличия в скорости реакции известны и для других ауксинов, например, 1-нафтилуксусная кислота действует в шесть раз быстрее, чем индолил-3-уксусная кислота [34]. Помимо активирующего эффекта на ростовые параметры присутствие в среде 0.5 мг/л 4-ХФУК способствовало максимальному суммарному накоплению вторичных метаболитов, которое в 2–6 раз превышало другие сочетания и концентрации гормонов. Было показано, что содержание производных кофейной кислоты в каллусах козельца л�учистого (*Scorzonera radiata*) достигало 27.95 мкг/г сухой массы клеток [35], что в 4.4 раза выше их содержания в каллусной культуре *I. batatas*. В тоже время в каллусной культуре артишока испанского (*Cynara cardunculus*) продукция этих метаболитов составляла всего 1.5 мг/г сухого веса [36]. Содержание скополина в каллусной культуре, выращенной в присутствии 4-ХФУК, в 10 раз превышало его содержание в клубнеплодах *I. batatas* (0.058 мг/г от сухой массы) [4]. Стоит отметить, что несмотря на то, что высокие дозы 4-ХФУК и 2,4-Д (2 мг/л) оказывали

сходящее влияние на пролиферацию клеток, их эффект на биосинтетический потенциал *I. batatas* отличался и выражался в практически полном ингибировании накопления вторичных соединений под действием 2,4-Д. Этот результат указывает на существенное различие в действии данных ауксинов на ростовые и биосинтетические характеристики культуры овощного батата. Интересно, что подобный эффект фитогормонов был ранее описан в культуре якорцев стелющихся (*Tribulus terrestris*). Авторы обнаружили, что 2,4-Д способствовал более активному росту клеток, тогда как 1-нафтилуксусная кислота индуцировала цитодифференцировку и накопление вторичных соединений [37].

В то же время влияние спектрального излучения на вторичный метаболизм клеточных культур в настоящее время изучено еще недостаточно. Полученные нами результаты свидетельствуют об общей ингибирующей активности спектров освещения в отношении роста и накопление вторичных метаболитов в каллусной культуре овощного батата. Эти данные согласуются с результатами предыдущих экспериментов, в которых было показано, что воздействие салициловой, жасминовой кислот и нитропруссида натрия оказывает активирующее влияние на вторичный метаболизм *I. batatas*, в то время как физические воздействия способствуют его ингибированию [21]. При этом в данном исследовании мы установили, что различные типы светового излучения действовали на физиологические и биохимические параметры клеток по-разному. Например, наибольшее ингибирующее действие на пролиферацию клеток отмечено для синего и белого спектра, тогда как эффект зеленого и красного света был выражен не так значительно. В то же время в отношении суммарного содержания вторичных метаболитов именно действие зеленого спектра привело к максимальному ингибированию. Свет различной интенсивности и спектра является важным индуктором морфогенеза и фотосинтеза [14]. Очевидно, в условиях темноты данные процессы отсутствуют (или их уровень низок), в результате чего каллусные клетки могут переключаться на альтернативные метаболические пути, включая пути синтеза вторичных метаболитов. Таким образом, как и в случае с аналогами ауксина, проявляется альтернативное влияние различных спектров на ростовые и биосинтетические характеристики культуры. Более того, разный спектр света оказывал дифференцированное влияние и на образование отдельных производных КХК. Было отмечено, что белый и яркий синий свет способствовали двукратному увеличению концентрации 3,4-ди-КХК. В то время как красный, единственный из всех испытанных спектров, вызывал почти двукратное увеличение накопления 3-Ф-5-КХК. Аналогичное действие на вторичный метаболизм

были отмечены ранее при коротком воздействии белого света на каллусную культуру *Flacouria indica* [38]. В работе Szopa с соавт. [24] показано, что синий свет вызывал трехкратное увеличение (до 0.47 мг/г сухой массы) ХГК и других фенольных соединений в каллусах *Schizandra chinensis*. Более того, красный свет способствовал накоплению ХГК до 11.6 мг/г сухого веса в каллусах *Withania somnifera* [26]. Различные производные КХК могут проявлять специфичные фармакологические свойства. Например, в экспериментах *in vivo* установлено, что 3,5-ди-КХК снижала дефицит обучения и памяти в модели ускоренного старения SAMP8 [39], а различные сочетания отдельных ди-КХК в разной степени улучшали когнитивные способности в модели патологии, связанной с накоплением амилоидов- $\beta$  у мышей [40]. Таким образом, дифференцированное влияние отдельных спектральных излучений можно использовать для направленной активации отдельных активных соединений. Например, в случае с клеточной культурой *I. batatas* белый, яркий синий и красный спектры можно рассматривать как эффективные физические факторы активации образования 3,4-ди-КХК и 3-Ф-5-КХК.

Работа выполнена при поддержке Российского научного фонда (№ 22-24-00082). Исследование выполнено с использованием оборудования центра коллективного пользования “Биотехнология и генетическая инженерия” Федерального научного центра биоразнообразия наземной биоты Восточной Азии Дальневосточного отделения Российской академии наук.

Настоящая статья не содержит каких-либо исследований с участием людей и животных в качестве объектов.

Авторы заявляют об отсутствии конфликта интересов.

## СПИСОК ЛИТЕРАТУРЫ

- Nawiri S.O., Oduor R.O., Jalemba A.M.* Genetic engineering of sweet potatoes (*Ipomoea batatas*) using isopentenyl transferase gene for enhanced drought tolerance // Asian J. Agric. 2017. V. 1. P. 85.  
<https://doi.org/10.13057/asianjagric/g010206>
- Phahlane C.J., Laurie S.M., Shoko T., Manhivi V.E., Sivakumar D.* Comparison of caffeoylquinic acids and functional properties of domestic sweet potato (*Ipomoea batatas* (L.) Lam.) storage roots with established overseas varieties // Foods. 2022. V. 11. P. 1329.  
<https://doi.org/10.3390/foods11091329>
- Tanaka M., Ishiguro K., Oki T., Okuno S.* Functional components in sweetpotato and their genetic improvement // Breed Sci. 2017. V. 67. P. 52.  
<https://doi.org/10.1270/jsbbs.16125>
- Santana-Gálvez J., Cisneros-Zevallos L., Jacobo-Velázquez D.* Chlorogenic acid: recent advances on its dual role as a food additive and a nutraceutical against metabolic syndrome // Molecules. 2017. V. 22. P. 358.  
<https://doi.org/10.3390/molecules22030358>
- Kai K., Shimizu B., Mizutani M., Watanabe K., Sakata K.* Accumulation of coumarins in *Arabidopsis thaliana* // Phytochem. 2006. V. 67. P. 379.  
<https://doi.org/10.1016/j.phytochem.2005.11.006>
- Teow C.C., Truong V.-D., McFeeeters R.F., Thompson R.L., Pecota K.V., Yencho G.C.* Antioxidant activities, phenolic and  $\beta$ -carotene contents of sweet potato genotypes with varying flesh colours // Food Chem. 2007. V. 103. P. 829.  
<https://doi.org/10.1016/j.foodchem.2006.09.033>
- Truong V.-D., McFeeeters R.F., Thompson R.T., Dean L.L., Shofran B.* Phenolic acid content and composition in leaves and roots of common commercial sweetpotato (*Ipomea batatas* L.) cultivars in the United States // J. Food Sci. 2007. V. 72. P. C343.  
<https://doi.org/10.1111/j.1750-3841.2007.00415.x>
- Alam M., Rana Z., Islam S.* Comparison of the proximate composition, total carotenoids and total polyphenol content of nine orange-fleshed sweet potato varieties grown in Bangladesh // Foods. 2016. V. 5. P. 64.  
<https://doi.org/10.3390/foods5030064>
- Kozai T., Kubota C., Ryoung Jeong B.* Environmental control for the large-scale production of plants through in vitro techniques // Plant Cell Tiss. Organ Cult. 1997. V. 51. P. 49.  
<https://doi.org/10.1023/A:1005809518371>
- Wawrosch C., Zotchev S.B.* Production of bioactive plant secondary metabolites through in vitro technologies—status and outlook // Appl. Microbiol. Biotech. 2021. V. 105. P. 6649.  
<https://doi.org/10.1007/s00253-021-11539-w>
- Thiruvengadam M., Rekha K., Rajakumar G., Lee T.-J., Kim S.-H., Chung I.-M.* Enhanced production of anthraquinones and phenolic compounds and biological activities in the cell suspension cultures of *Polygonum multiflorum* // Int. J. Mol. Sci. 2016. V. 17. P. 1912.  
<https://doi.org/10.3390/ijms17111912>
- Khan H., Khan T., Ahmad N., Zaman G., Khan T., Ahmad W., Batool S., Hussain Z., Drouet S., Hano C., Abbasi B.H.* Chemical elicitors-induced variation in cellular biomass, biosynthesis of secondary cell products, and antioxidant system in callus cultures of *Fagonia indica* // Molecules. 2021. V. 26. P. 6340.  
<https://doi.org/10.3390/molecules26216340>
- Chung I.M., Rekha K., Rajakumar G., Thiruvengadam M.* Elicitation of silver nanoparticles enhanced the secondary metabolites and pharmacological activities in cell suspension cultures of bitter gourd // Biotech. 2018. V. 8. P. 412.  
<https://doi.org/10.1007/s13205-018-1439-0>
- Hashim M., Ahmad B., Drouet S., Hano C., Abbasi B.H., Anjum S.* Comparative effects of different light sources on the production of key secondary metabolites in plants in vitro cultures // Plants. 2021. V. 10. P. 1521.  
<https://doi.org/10.3390/plants10081521>
- Mipeshwaree Devi A., Khedashwori Devi K., Premi Devi P., Lakshmipriyari Devi M., Das S.* Metabolic engineering

- of plant secondary metabolites: prospects and its technological challenges // *Front. Plant Sci.* 2023. V. 14. P. 1171154.  
<https://doi.org/10.3389/fpls.2023.1171154>
16. *De Geyter N., Gholami A., Goormachtig S., Goossens A.* Transcriptional machineries in jasmonate-elicited plant secondary metabolism // *Trends Plant Sci.* 2012. V. 17. P. 349.  
<https://doi.org/10.1016/j.tplants.2012.03.001>
  17. *Halder M., Sarkar S., Jha S.* Elicitation: a biotechnological tool for enhanced production of secondary metabolites in hairy root cultures // *Eng. Life Sci.* 2019. V. 19. P. 880.  
<https://doi.org/10.1002/elsc.201900058>
  18. *Sanchez-Muñoz R., Moyano E., Khojasteh A., Bonfill M., Cusido R.M., Palazon J.* Genomic methylation in plant cell cultures: a barrier to the development of commercial long-term biofactories // *Eng. Life Sci.* 2019. V. 19. P. 872.  
<https://doi.org/10.1002/elsc.201900024>
  19. *Dubrovina A.S., Kiselev K.V.* Effect of long-term cultivation on resveratrol accumulation in a high-producing cell culture of *Vitis amurensis* // *Acta Physiol. Plant.* 2012. V. 34. P. 1101.  
<https://doi.org/10.1007/s11738-011-0907-5>
  20. *Veremeichik G.N., Bulgakov V.P., Shkryl Y.N., Silantieva S.A., Makhazen D.S., Tchernoded G.K., Mischenko N.P., Fedoreyev S.A., Vasileva E.A.* Activation of anthraquinone biosynthesis in long-cultured callus culture of *Rubia cordifolia* transformed with the *rolA* plant oncogene // *J. Biotech.* 2019. V. 306. P. 38.  
<https://doi.org/10.1016/j.jbiotec.2019.09.007>
  21. *Vasyutkina E.A., Yugay Y.A., Grigorochuk V.P., Grishchenko O.V., Sorokina M.R., Yaroshenko Y.L., Kudinova O.D., Stepochkina V.D., Bulgakov V.P., Shkryl Y.N.* Effect of stress signals and *Ib-rolB/C* overexpression on secondary metabolite biosynthesis in cell cultures of *Ipomoea batatas* // *Int. J. Mol. Sci.* 2022. V. 23. P. 15100.  
<https://doi.org/10.3390/ijms232315100>
  22. *Bantis F., Smirnakou S., Ouzounis T., Koukounaras A., Ntagkas N., Radoglou K.* Current status and recent achievements in the field of horticulture with the use of light-emitting diodes (LEDs) // *Sci. Hortic.* 2018. V. 235. P. 437.  
<https://doi.org/10.1016/j.scienta.2018.02.058>
  23. *Bajwa M.N., Khanum M., Zaman G., Ullah M.A., Farooq U., Waqas M., Ahmad N., Hano C., Abbasi B.H.* Effect of wide-spectrum monochromatic lights on growth, phytochemistry, nutraceuticals, and antioxidant potential of in vitro callus cultures of *Moringa oleifera* // *Molecules.* 2023. V. 28. P. 1497.  
<https://doi.org/10.3390/molecules28031497>
  24. *Szopa A., Ekiert H.* The importance of applied light quality on the production of lignans and phenolic acids in *Schisandra chinensis* (Turcz.) Baill. cultures *in vitro* // *Plant Cell Tiss. Organ Cult.* 2016. V. 127. P. 115.  
<https://doi.org/10.1007/s11240-016-1034-1>
  25. *Lian T.T., Cha S.-Y., Moe M.M., Kim Y.J., Bang K.S.* Effects of different colored LEDs on the enhancement of biologically active ingredients in callus cultures of *Gynura procumbens* (Lour.) Merr. // *Molecules.* 2019. V. 24. P. 4336.  
<https://doi.org/10.3390/molecules24234336>
  26. *Adil M., Haider Abbasi B., Ul Haq I.* Red light controlled callus morphogenetic patterns and secondary metabolites production in *Withania somnifera* L. // *Biotechnol. Rep. (Amst).* 2019. V. 24 P. e00380.  
<https://doi.org/10.1016/j.btre.2019.e00380>
  27. *Песек С.В.* Действие селективного света на рост клеточных культур растения *Artemisia annua* L. // Вестник Томского гос. университета. Биология. 2010. № 2. С. 29.
  28. *Murashige T., Skoog F.A.* A revised medium for rapid growth and bioassays with tobacco tissue cultures // *Physiol. Plant.* 1962. V. 15. P. 473.
  29. *Grishchenko O.V., Subbotin E.P., Gafitskaya I.V., Vereshchagina Y.V., Burkovskaya E.V., Khrolenko Y.A., Grigorochuk V.P., Nakonechnaya O.V., Bulgakov V.P., Kulchin Y.N.* Growth of micropropagated *Solanum tuberosum* L. plantlets under artificial solar spectrum and different mono- and polychromatic LED lights // *Hortic. Plant J.* 2022. V. 8. P. 205.  
<https://doi.org/10.1016/j.hpj.2021.04.007>
  30. *Yue W., Ming Q.L., Lin B., Rahman K., Zheng C.J., Han T., Qin L.P.* Medicinal plant cell suspension cultures: pharmaceutical applications and high-yielding strategies for the desired secondary metabolites // *Crit. Rev. Biotechnol.* 2016. V. 36. P. 215.  
<https://doi.org/10.3109/07388551.2014.923986>
  31. *Калашникова Е.А., Кираюсян Р.Н., Абубакаров Х.Г., Зайцева С.М.* Влияние гормонального состава питательной среды и эндогенных полифенолов на формирование каллусной ткани *Ipomoea batatas* (L.) // Вопросы биологической, медицинской и фармацевтической химии. 2022. № 11. С. 46.
  32. *De Silva A.E., Kadir M.A., Aziz M.A., Kadzimin S.* Proliferation potential of 18-month-old callus of *Ananas comosus* L. cv. Moris. // *Sci. World J.* 2006. V. 6. P. 169.  
<https://doi.org/10.1100/tsw.2006.34>
  33. *Peeters A.J., Gerards W., Barendse G.W., Wullems G.J.* In vitro flower bud formation in tobacco: interaction of hormones // *Plant Physiol.* 1991. V. 97. P. 402.  
<https://doi.org/10.1104/PP.97.1.402>
  34. *De Klerk G.J., Brugge J.T., Marinova S.* Effectiveness of indoleacetic acid, indolebutyric acid and naphthalene-acetic acid during adventitious root formation in vitro in *Malus 'Jork 9'* // *Plant Cell Tiss. Organ Cult.* 1997. V. 49. P. 39.  
<https://doi.org/10.1023/A:1005850222973>
  35. *Grishchenko O.V., Grigorochuk V.P., Tchernoded G.K., Koren O.G., Bulgakov V.P.* Callus culture of *Scorzonera radiata* as a new, highly productive and stable source of caffeoylquinic acids // *Molecules.* 2022. V. 27. P. 7989.  
<https://doi.org/10.3390/molecules27227989>
  36. *Vereshchagina Y.V., Bulgakov V.P., Grigorochuk V.P., Rybin V.G., Veremeichik G.N., Tchernoded G.K., Gorpenchenko T.Y., Koren O.G., Phan N.H.T., Minh N.T., Chau L.T., Zhuravlev Y.N.* The *rolC* gene increases caffeoylquinic acid production in transformed arti-

- choke cells // Appl. Microbiol. Biotechnol. 2014. V. 98. P. 7773.  
<https://doi.org/10.1007/s00253-014-5869-2>
37. Томилова С.В., Ханды М.Т., Кочкин Д.В., Галишев Б.А., Клюшин А.Г., Носов А.М. Влияние синтетических аналогов ауксинов – 2,4-Д и  $\alpha$ -НУК – на ростовые и биосинтетические характеристики суспензионной культуры клеток *Tribulus terrestris* L. // Физиология растений. 2020. Т. 67. С. 389.  
<https://doi.org/10.31857/S001533032004017X>
38. Khan T., Ullah M.A., Garros L., Hano C., Abbasi B.H. Synergistic effects of melatonin and distinct spectral lights for enhanced production of anti-cancerous compounds in callus cultures of *Fagonia indica* // J. Photo-chem. Photobiol. B. 2019. V. 190. P. 163.  
<https://doi.org/10.1016/j.jphotobiol.2018.10.010>
39. Han J., Miyamae Y., Shigemori H., Isoda H. Neuroprotective effect of 3,5-di-caffeoquinic acid on SH-SY5Y cells and senescence-accelerated-prone mice 8 through the up-regulation of phosphoglycerate kinase-1 // Neurosci. 2010. V. 169. P. 1039.  
<https://doi.org/10.1016/j.neuroscience.2010.05.049>
40. Matthews D.G., Caruso M., Alcazar Magana A., Wright K.M., Maier C.S., Stevens J.F., Gray N.E., Quinn J.F., Soumyanath A. Caffeoylquinic acids in *Centella asiatica* reverse cognitive deficits in male 5XFAD alzheimer's disease model mice // Nutrients. 2020. V. 12. P. 3488.  
<https://doi.org/10.3390/nu12113488>